

تعیین میدان جریان در پدیده سقوط ذرات رسوب در آب نزدیک به سکون با استفاده از حل معادله برگرد دو بعدی با روش تفاضل محدود کاملاً ضمنی

ایمان رضایی^۱، محمد واقفی^{۲*}، حسین رهیده^۳

تاریخ دریافت: ۱۳۹۷-۰۴-۱۷ تاریخ پذیرش: ۱۳۹۸-۰۷-۲۹ تاریخ چاپ: ۱۳۹۹-۰۲-۲۲

چکیده

فرایندهای فیزیکی، وابسته به پارامترهای مختلف می باشد که در زبان ریاضی با معادله مخصوص به خود مدل می شوند. از آنجایی که حل برخی از معادلات دیفرانسیل جزئی غیرخطی، چنان دشوار است که به دست آوردن جواب تحلیلی آن ها مگر در شرایط خاص امکان پذیر نمی باشد، این گونه معادلات را می توان با روش های عددی حل نمود. معادله مورد نظر در این تحقیق، معادله برگرد در حالت دو بعدی غیرخطی وابسته به زمان است که پدیده سرعت سقوط ذره درون سیال راکد یا نزدیک به سکون مانند آب رسوب دار پشت یک سد را مدل می کند. در این تحقیق برای حل معادله برگرد دو بعدی ابتدا این معادله با استفاده از روش تفاضل محدود کاملاً ضمنی^۴ که یک روش پایدار غیرشرطی است گسسته سازی شده و سپس برنامه نویسی شد. همچنین دقت نتایج حل معادله با روش عددی دیگر (روش المان محدود) مقایسه شده است که دلالت بر همخوانی روش ساده تر تفاضل محدود نسبت به روش پیچیده تر المان محدود دارد. نتایج عددی برای لزجت ها و زمان های متفاوت به دست آمده و نقش آن ها در سرعت سقوط ذره مورد بررسی پارامتریک قرار گرفته است. به طور کلی نتایج نشان داد که با افزایش لزجت و زمان، سرعت سقوط ذره کاهش می یابد. با افزایش زمان، مکان هندسی سرعت های ماکزیمم در جهت عمقی به کف بستر و در جهت طولی به سمت انتهای طول نزدیک تر شدند. همچنین سرعت عمقی منفی (جریان رو به بالا) به خصوص در لبه های نزدیک بستر مشاهده شد که نشان دهنده ی معلق بودن ذرات در بعضی از مکان ها و زمان ها می باشد.

واژه های کلیدی: معادلات دیفرانسیل جزئی، معادله برگرد، روش تفاضل محدود، سرعت سقوط ذرات رسوب

^۱ دانشجوی کارشناسی ارشد مهندسی عمران-سازه های هیدرولیکی، دانشکده مهندسی، دانشگاه خلیج فارس

^۲ دانشیار گروه مهندسی عمران-سازه های هیدرولیکی، دانشکده مهندسی، دانشگاه خلیج فارس

^۳ استادیار گروه مهندسی شیمی، دانشکده نفت و گاز، دانشگاه خلیج فارس

* نویسنده مسئول: vaghefi@pgu.ac.ir

^۴ Fully implicit finite difference

مقدمه

در بیشتر سیال‌ها مواد و ذراتی وجود دارد که در آن حل نمی‌شوند و با جریان سیال در حال حرکت می‌باشند و از سویی به سوی دیگر می‌روند و دارای جابجایی می‌باشند؛ به این ذرات مواد معلق می‌گویند. حال اگر ذره‌ای در نظر گرفته شود که با سیال در حال جابجایی باشد آنچه مسلم است نیروی گرانش نیز به این ذره وارد می‌شود. اگر سیال در مسیر خود به هر دلیلی در زمان و مکانی متوقف شود سیال به حالت سکون یا نزدیک به سکون می‌رسد. در این حالت آن ذره معلق تحت تأثیر نیروی حرکتی سیال جابجا نمی‌شود اما تحت تأثیر نیروی گرانش شروع به جابجایی می‌نماید و مشخصاً از مکان اولیه خود در لحظه‌ای که سیال راکد شده است تغییر مکان داده و تحت تأثیر نیروی گرانش رو به پایین حرکت می‌کند و در بستر جمع می‌شود؛ به این پدیده رسوب‌گذاری مواد معلق می‌گویند. مثال عملی این پدیده در هنگام توقف جریان رودخانه‌ها در پشت یک بند انحرافی یا سد می‌باشد. در این حالت رسوبات معلق در جریان با حرکت قائم (تحت تأثیر نیروی گرانش) در پشت دیواره سد رسوب‌گذاری می‌کنند. به همین دلیل در طراحی سدها مخزن مرده یا دریچه رسوبگیر طراحی می‌کنند تا در بعضی مواقع مقداری از رسوبات را خارج نمایند. همچنین رسوب‌گذاری در پایین‌دست آبشکن‌ها خصوصاً آبشکن‌های T شکل مثالی دیگر از تهنشینی رسوبات معلق را بیان می‌کند. ذرات معلق در زمان‌ها و مکان‌های متفاوت دارای سرعت‌های متفاوتی می‌باشند. معادله ناویر-استوکس^۱ مدل ریاضی حاکم بر حرکات، جریانات و دینامیک سیالات (اعم از مایعات یا گازها) را شکل می‌دهد که حل کامل آن در دامنه‌ی فیزیکی بسیار دشوار است. معادله برگر در واقع همان معادله حرکت تراکم‌ناپذیر بدون ترم‌گرادیان فشار و معادله پیوستگی است که ترم‌های انتقال و پخش معادلات تراکم‌ناپذیر را دارا می‌باشد. این معادله یک مدل ساده برای فهم مسائل و جریان‌های فیزیکی مانند حرکت سیالات، آشفتنگی و تلاطم در هیدرو دینامیک، فرایندهای امواج (V.I. Rizun and Iu. K. Engel'Brekht, 1975)،

بررسی لایه‌های مرزی، انتشار در محیط متخلخل، سرعت سقوط ذرات رسوب در سیال راکد و امواج شوک^۲ (ضربه‌ای) (S. Watanabe et al., 1997) می‌باشد. این معادله برای اولین بار توسط Bateman (1915) معرفی شد که راه حلی را برای حالت ماندگار این معادله ارائه داد. پس از آن توسط Burgers (1939,1948) به‌عنوان یک مدل ریاضی برای آشفتنگی تلقی شد. بنابراین این معادله به "معادله برگر" شهرت یافت. معادله برگر کاربردهای زیادی در زمینه‌های دیگری مانند جریان‌های ریزشی^۳ (L. Kofman and A.C. Rage, 1992)، دینامیک گاز^۴ (S. Albeverio et al., 1979) و... دارد. در سال‌های اخیر روش‌های حل عددی متفاوتی برای حل معادلات برگر به کار گرفته شده است که به چند مورد آن‌ها اشاره می‌شود. چند روش عددی المان محدود برای حل مسائل مقدار اولیه-مرزی معادلات برگر دو بعدی توسط Arminjon and Beauchamp (1979) شرح داده شد. Shu and Richards (1992) با استفاده از روش دیفرانسیل کوادرچر تعمیم یافته (GDQ) حل عددی معادله دو بعدی ناویر-استوکس تراکم‌ناپذیر را ارائه دادند. حل معادله برگر در فضای یک بعدی و دو بعدی با استفاده از توزیع توابع تقریبی (DAFs) برای گسسته‌سازی مکانی و استفاده از بسط تیلور برای گسسته‌سازی زمانی توسط Wei et al. (1998) ارائه گردید. Zaki (2000) نوعی از معادله برگر به نام معادله KDV را ارزیابی و سپس به روش عددی اجزاء محدود بی-اسپیلاین حل نمود. Abdou and Soliman (2005) کوپل معادله برگر^۵ را با استفاده از روش تکرار متغیر حل کرده و سپس نتایج خود را با حل به‌دست‌آمده از روش ADM^۶ مقایسه نمودند؛ در انتها آن‌ها دریافتند که روش تکرار متغیر دقیق‌تر از روش ADM می‌باشد. (Khater et al. 2008) از روش همبستگی چیشف برای حل فرم‌های مختلف معادله برگر بهره بردند؛ آن‌ها نتایج حل عددی را برای هر فرم معادله ارائه داده و دقت بالای روش خود را از دیگر نتایج قبلی نشان دادند.

Haq et al. (2009) معادله KDV را ارزیابی کرده و با روش‌های بدون شبکه^۷ به حل عددی این معادله

^۵ Coupled Burger's equation

^۶ Adomain Decomposition

^۷ Mesh-Free

^۱ Navier-Stokes equation

^۲ Shock waves

^۳ Jet flows

^۴ gas dynamics

مواد و روش‌ها

معادله‌ای که در این تحقیق مورد بررسی قرار می‌گیرد، معادله برگر دو بعدی می‌باشد که برای پیش‌بینی سرعت سقوط ذرات رسوب در آب نزدیک به سکون مناسب است:

$$\frac{\partial u}{\partial t} + u \frac{\partial u}{\partial x} + v \frac{\partial u}{\partial y} - \frac{1}{Re} \left(\frac{\partial^2 u}{\partial x^2} + \frac{\partial^2 u}{\partial y^2} \right) = 0, \quad (1)$$

$$0 \leq x \leq 1, \quad 0 \leq y \leq 1, \quad t > 0.$$

$$\frac{\partial v}{\partial t} + u \frac{\partial v}{\partial x} + v \frac{\partial v}{\partial y} - \frac{1}{Re} \left(\frac{\partial^2 v}{\partial x^2} + \frac{\partial^2 v}{\partial y^2} \right) = 0, \quad (2)$$

$$0 \leq x \leq 1, \quad 0 \leq y \leq 1, \quad t > 0.$$

که در آن u و v به ترتیب سرعت سقوط ذرات رسوب در جهت طولی و عمقی و Re عدد بی‌بعد رینولدز می‌باشد. معادله فوق در واقع فرم بی‌بعد شده معادله برگر می‌باشد. در اینجا $\frac{1}{Re}$ با ν (ضریب لزجت سینماتیکی) نشان داده شده است. شرایط اولیه و مرزی برای حل این معادله به‌صورت زیر تعریف می‌شود:

شرایط اولیه

$$u(x, y, 0) = \sin(\pi x) \sin(\pi y),$$

$$v(x, y, 0) = (\sin(\pi x) + \sin(2\pi x)) (\sin(\pi y) + \sin(2\pi y)),$$

$$0 \leq x \leq 1, \quad 0 \leq y \leq 1.$$

شرایط مرزی

$$u(x, 0, t) = 0, \quad u(x, 1, t) = 0, \quad u(0, y, t) = 0,$$

$$u(1, y, t) = 0, \quad v(x, 0, t) = 0, \quad v(x, 1, t) = 0,$$

$$v(0, y, t) = 0, \quad v(1, y, t) = 0, \quad t > 0.$$

در این تحقیق روش تفاضل محدود کاملاً ضمنی برای حل معادله برگر دو بعدی با شرایط اولیه و مرزی مشخص، استفاده می‌شود. نتایج محاسبه شده با نتایج حل عددی دیگر مقایسه می‌گردد.

روش حل

تقریب گسسته $u(x, y, t)$ و $v(x, y, t)$ در هر نقطه شبکه‌بندی $[\Delta x(i-1), \Delta y(j-1), \Delta t(n-1)]$ توسط $u_{i,j}^n$ و $v_{i,j}^n$ مشخص می‌گردد که $[i = 1, 2, \dots, N_x; j = 1, 2, \dots, N_y; n = 1, 2, \dots]$

پرداختند. (Rady et al. (2010) نوعی از معادله برگر به نام برگر-بوزینسک^۱ را معرفی کرده و حل این معادله را با روش $\tan h$ ارائه دادند. (Tamsir and Srivastava (2011) روش تفاضل محدود نیمه ضمنی^۲ را برای حل معادله دو بعدی برگر به کار بردند. آن‌ها با مقایسه نتایج حل خود با نتایج حل دقیق و عددی قبلی، روش مورد مطالعه را کاربردی یافتند. (Diaz et al. (2011) حل عددی نوعی از معادله برگر به نام برگر-هاکسلی را ارائه دادند؛ آن‌ها حل را برای فواصل شبکه متفاوت مورد بررسی قرار داده و خطاهای مربوطه را شرح دادند. روش دیفرانسیل کوادراچر المانی برای حل معادله یک‌بعدی برگر توسط Vaghefi et al. (2012) به کار گرفته شد؛ آن‌ها پس از نشان دادن همگرایی روش مورد مطالعه توسط مقایسه با روش حل دقیق، اثرات ویسکوزیته سینماتیکی را بر روی پارامتر سرعت مورد مطالعه قرار دادند. برای حل معادله غیرخطی یک‌بعدی برگر از روش دیفرانسیل کوادراچر بی-اسپیلاین مکعبی^۳ اصلاح‌شده (MCB-DQM) توسط Arora and Singh (2013) استفاده شد. (Wazwaz (2014) حل عددی معادله دو بعدی و سه‌بعدی برگر تعمیم یافته را با استفاده از روش تغییر متغیر Hopf-Cole ارائه داد. (Zhanlav et al. (2015) برای حل معادله ناماندگار برگر از طرح تفاضل محدود مرتبه بالا بهره بردند؛ آن‌ها نتایج خود را با نتایج حل دقیق برای اعداد رینولدز متفاوت نزدیک یافتند. حل عددی معادله دو بعدی برگر با استفاده از روش دیفرانسیل کوادراچر بی-اسپیلاین مکعبی اصلاح‌شده توسط et al. (2016) Shukla به کار برده شد. آن‌ها با مقایسه نتایج خود با نتایج عددی دیگر و حل دقیق، روش مورد مطالعه را مؤثر و قابل قبول یافتند. (Zheng et al. (2017) روش تفاضل محدود جدیدی را روی دامنه نامحدود با دو شرط مرزی غیرخطی و شرط اولیه خطی برای حل معادله غیرهمگن یک‌بعدی برگر به کار بردند.

در این تحقیق با استفاده از روش تفاضل محدود کاملاً ضمنی که یک روش پایدار غیر شرطی است پرداخته می‌شود و میدان جریان و توزیع سرعت های طولی و عمقی در هر دو جهت طولی و عمقی و هم چنین نقش پارامتر های لزجت و زمان بر روی سرعت های سقوط مورد بررسی قرار می‌گیرد.

^۱ cubic B-spline

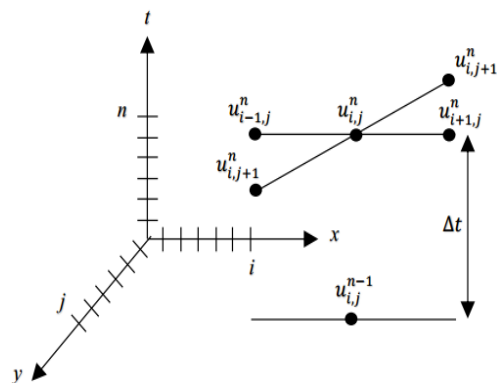
^۱ Boussinesq-Burgers equation

^۲ Semi-implicit

$$2 \leq i \leq N_x - 1, 2 \leq j \leq N_y - 1, 2 \leq n$$

برای خطی سازی سیستم غیر خطی معادلات فوق از روش نیوتن-رافسون^۲ استفاده می شود (Vaghefi et al., 2012).

محاسبات عددی مربوط به روش تفاضل محدود کاملاً ضمنی با استفاده از شبکه یکنواخت انجام شد.



شکل ۱- شکل شماتیک شبکه بندی به روش تفاضل محدود

نتایج عددی

حل عددی برای سرعت های u و v برای لزجت های سینماتیکی متفاوت و زمان های متفاوت در نقاط شبکه بندی به دست آمد که نتایج آن در جدول ۱ آورده شده است.

همان طور که در جدول ۱ مشاهده می شود مقادیر سرعت های طولی و عمقی با شبکه بندی های متفاوت به دست آمده و نتایج، همخوانی خوبی را با روش پیچیده المان محدود نشان می دهد. با افزایش تعداد نقاط شبکه، نتایج به روش المان محدود نزدیک تر می شود و خطای کمتری دارد.

جدول ۱- مقادیر سرعت های طولی و عمقی u و v به عنوان نمونه برای لزجت معادل ۱ و زمان $t=0.1$ و مقایسه با روش المان محدود (P. Arminjon and C. Beauchamp, 1979).

		روش المان محدود		روش حاضر			
نقاط شبکه بندی	سرعت ها	$\Delta x = \Delta y = 1/80$ $\Delta t = 1/3000$	$\Delta x = \Delta y = 1/20$ $\Delta t = 1/1000$	$\Delta x = \Delta y = 1/40$ $\Delta t = 1/1000$	$\Delta x = \Delta y = 1/40$ $\Delta t = 1/2000$	خطای مطلق	
$x = 0.1$	u	۰/۰۷۲۵۱۳۹	۰/۰۷۲۹۹۴۳	۰/۰۷۲۹۴۶۴	۰/۰۷۲۷۴۰۵	-۰/۰۰۰۲۲۶۶	
$y = 0.1$	v	۰/۴۳۱۳۲۰	۰/۴۴۲۰۳۵۲	۰/۴۴۰۷۰۰۴	۰/۴۳۶۲۵۱۴	-۰/۰۰۴۹۳۱۴	
$x = 0.2$	u	۰/۲۸۸۳۳۴	۰/۲۷۸۴۹۴۷	۰/۲۷۸۴۲۸۳	۰/۲۷۸۰۲۰۱	۰/۰۱۰۳۱۳۹	
$y = 0.8$	v	-۰/۱۲۱۳۱۷	-۰/۱۳۸۶۰۳	-۰/۱۳۶۶۷۳	-۰/۱۳۰۹۵۹	۰/۰۰۹۶۴۲	
$x = 0.4$	u	۰/۷۲۱۷۱۶	۰/۷۲۴۲۵۲۳	۰/۷۲۳۹۸۶۶	۰/۷۲۲۸۹۵۲	-۰/۰۰۱۱۷۹۲	
$y = 0.4$	v	۱/۶۵۲۷۰	۱/۶۶۶۲۵۳	۱/۶۶۳۹۷۶	۱/۶۵۸۷۱۵۳	-۰/۰۰۶۰۱۵۳	

و N_y به ترتیب تعداد نقاط دقت در جهت x و y بوده و $\Delta x = 1/(N_x - 1)$ و $\Delta y = 1/(N_y - 1)$ و Δt نشان دهنده میزبان افزایش زمان می باشد.

با توجه به شکل ۱ برای گسسته سازی از تفاضل محدود مرکزی^۱ استفاده شده است که نسبت به تفاضل محدود پسرو و پیشرو از دقت بالاتری برخوردار می باشد. گسسته سازی تفاضل محدود کاملاً ضمنی به صورت زیر است:

$$\frac{u_{i,j}^n - u_{i,j}^{n-1}}{\Delta t} + u_{i,j}^n \left(\frac{u_{i+1,j}^n - u_{i-1,j}^n}{2\Delta x} \right) + v_{i,j}^n \left(\frac{u_{i,j+1}^n - u_{i,j-1}^n}{2\Delta y} \right) - \frac{1}{Re} \left(\frac{u_{i+1,j}^n - 2u_{i,j}^n + u_{i-1,j}^n}{\Delta x^2} + \frac{u_{i,j+1}^n - 2u_{i,j}^n + u_{i,j-1}^n}{\Delta y^2} \right) = 0 \quad (4)$$

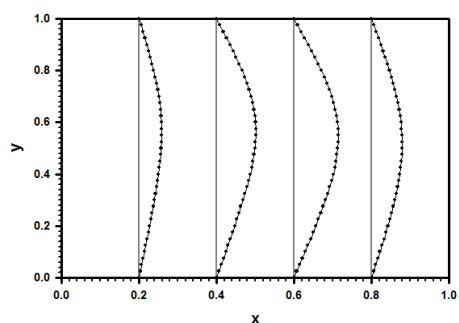
$$\frac{v_{i,j}^n - v_{i,j}^{n-1}}{\Delta t} + u_{i,j}^n \left(\frac{v_{i+1,j}^n - v_{i-1,j}^n}{2\Delta x} \right) + v_{i,j}^n \left(\frac{v_{i,j+1}^n - v_{i,j-1}^n}{2\Delta y} \right) - \frac{1}{Re} \left(\frac{v_{i+1,j}^n - v_{i,j}^n + v_{i-1,j}^n}{\Delta x^2} + \frac{v_{i,j+1}^n - 2v_{i,j}^n + v_{i,j-1}^n}{\Delta y^2} \right) = 0, \quad (5)$$

^۲ Newton-Raphson method

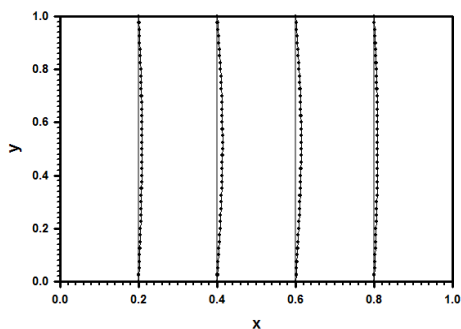
^۱ Central finite difference

$x = 0.7$	u	۰/۲۰۱۰۴۸	۰/۲۰۵۲۴۰۱	۰/۲۰۵۱۵۹۳	۰/۲۰۴۹۸۴۶۲	-۰/۰۰۳۹۳۶۶
$y = 0.1$	v	۰/۰۶۷۱۱۲۳	۰/۰۵۹۵۰۸۵	۰/۰۶۰۴۵۴۲	۰/۰۶۳۴۰۶۹	۰/۰۰۳۷۰۳۵۴
$x = 0.9$	u	۰/۰۷۹۴۶۳۹	۰/۰۷۹۶۰۰۵	۰/۰۷۹۵۸۲۳	۰/۰۷۹۵۲۵۸	-۰/۰۰۰۰۶۱۹
$y = 0.9$	v	۰/۰۱۳۴۴۰۹	۰/۰۱۵۹۶۳۳	۰/۰۱۵۷۶۱۰	۰/۰۱۴۶۵۴۶	-۰/۰۰۱۲۱۳۷

هندسی سرعت طولی ماکزیمم برای همه طولها یکسان است و در عمق $y=0/55$ رخ می‌دهد. در شکل ۲-د برای زمان $t=0/5$ سرعت طولی ماکزیمم در $x=0/6$ نسبت به $x=0/2$ حدود $73/7$ درصد افزایش می‌یابد اما این مقدار در $x=0/8$ نسبت به $x=0/6$ حدود $56/5$ درصد کاهش می‌یابد. در این حالت مانند حالت قبل مکان هندسی سرعت طولی ماکزیمم برای همه طولها یکسان است و در عمق $y=0/525$ رخ می‌دهد. همان‌طور که مشخص است به‌طور کلی با افزایش زمان از مقدار سرعت طولی در جهت عمقی کاسته می‌شود. به‌عنوان مثال با 5 برابر شدن زمان (از $0/1$ به $0/5$) مقدار سرعت طولی ماکزیمم در جهت عمق در موقعیت طولی $0/4$ به حدود 88 درصد کاهش یافته است.

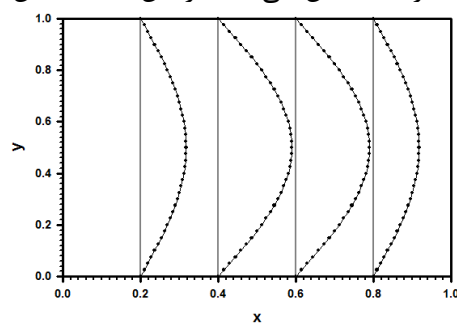


(ب)

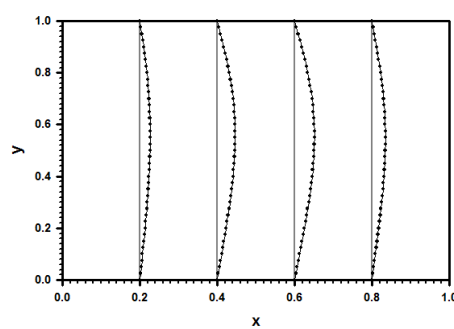


(د)

شکل ۲ نشان‌دهنده‌ی توزیع سرعت طولی u در جهت عمقی برای طول‌های مشخص برای ضریب لزجت $0/25$ می‌باشد. در این حالت در شکل ۲-الف برای شرایط اولیه در موقعیت‌های $x=0/8$ و $x=0/2$ و همچنین $x=0/6$ و $x=0/4$ سرعت‌های یکسانی مشاهده می‌شود. سرعت طولی ماکزیمم در طول $0/4$ نسبت به طول $0/2$ به میزان حدود $61/8$ درصد افزایش یافته است. در شکل ۲-ب برای زمان $t=0/1$ و موقعیت طولی $0/4$ مقدار سرعت طولی ماکزیمم به حدود 87 درصد نسبت به زمان اولیه کاهش پیدا می‌کند. در شکل ۲-ج برای زمان $t=0/25$ سرعت طولی ماکزیمم در $x=0/6$ نسبت به $x=0/2$ حدود $92/2$ درصد افزایش می‌یابد اما این مقدار در $x=0/8$ نسبت به $x=0/6$ حدود $47/5$ درصد کاهش می‌یابد. در این حالت مکان



(الف)



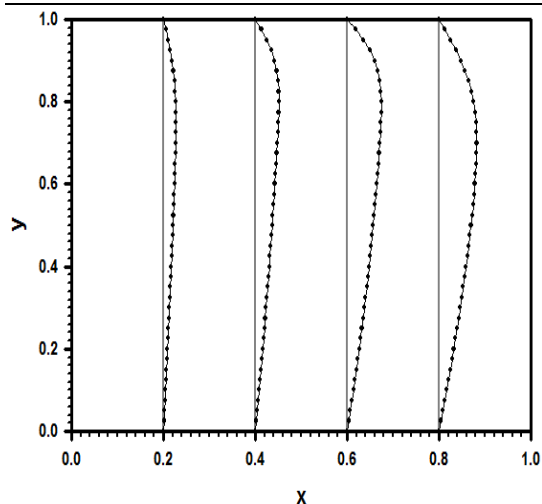
(ج)

شکل ۲- نمونه‌ای از توزیع سرعت طولی u در جهت عمقی ($v=0/25$) و زمان‌های متفاوت: الف) $t=0$ ، ب) $t=0/1$ ، ج)

$$\leftarrow \Delta \rightarrow .t=0/5 \text{ و } t=0/25$$

طولی ماکزیمم در $x=0/6$ نسبت به $x=0/2$ حدود $112/9$ درصد افزایش می‌یابد اما این مقدار در $x=0/8$ نسبت به $x=0/6$ حدود $30/6$ درصد کاهش می‌یابد. در این حالت

شکل ۳ نشان‌دهنده‌ی توزیع سرعت طولی u در جهت عمقی برای طول‌های مشخص برای ضریب لزجت $0/05$ می‌باشد. در شکل ۳-الف برای زمان $t=0/1$ سرعت



(ج)

شکل ۳- نمونه‌ای از توزیع سرعت طولی u در جهت عمقی ($v = 0/05$) و زمان‌های متفاوت: الف) $t = 0/1$.

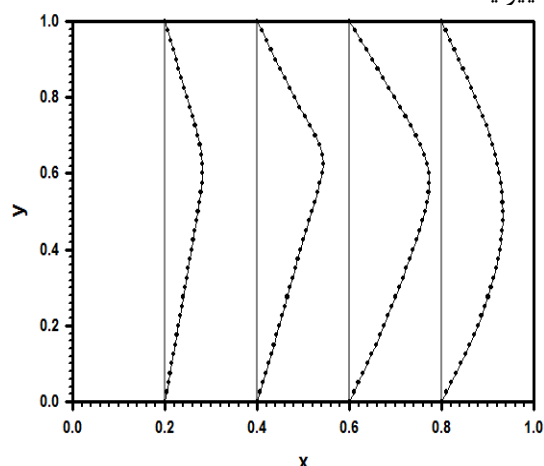
ب) $t = 0/25$ و ج) $t = 0/5$.

با افزایش زمان از مقدار سرعت ماکزیمم طولی کاسته می‌شود و در عمق‌های بیشتری رخ می‌دهد. به طوریکه در $x = 0/4$ و $t = 0/5$ مقدار سرعت ماکزیمم طولی نسبت به $t = 0/1$ حدود $177/6$ درصد کاهش یافته است. مکان هندسی سرعت طولی ماکزیمم در زمان $t = 0/1$ و موقعیت طولی $0/2$ از عمق $0/6$ به عمق $0/75$ در زمان $t = 0/5$ تغییر می‌یابد.

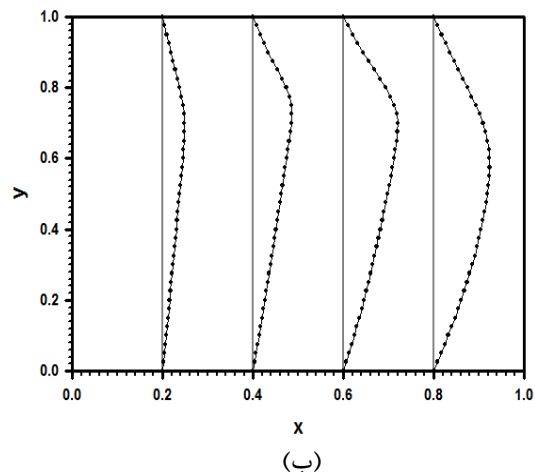
با مقایسه شکل‌های ۲ و ۳ می‌توان نتیجه گرفت که با کاهش لزجت، سرعت طولی در جهت عمقی افزایش می‌یابد. به طوری که برای زمان $0/25$ و موقعیت طولی $0/8$ مقدار سرعت طولی ماکزیمم در جهت عمقی برای لزجت $0/05$ نسبت به لزجت $0/25$ حدود 72 درصد افزایش پیدا کرده است. نکته دیگر این‌که مکان هندسی سرعت طولی ماکزیمم در جهت عمق با کاهش لزجت به کف بستر نزدیک‌تر خواهد شد. به‌عنوان مثال برای زمان $t = 0/5$ مکان هندسی سرعت ماکزیمم در لزجت معادل $0/05$ نسبت به لزجت $0/25$ حدود $52/4$ درصد به کف بستر نزدیک می‌شود.

شکل ۴- الف نشان‌دهنده‌ی مقادیر و مکان هندسی سرعت ماکزیمم عمقی v برای زمان $t = 0/1$ و لزجت‌های متفاوت در جهت عمقی می‌باشد. برای لزجت معادل $0/05$ مقدار سرعت ماکزیمم عمقی در $x = 0/4$ نسبت به $x = 0/2$ حدود $29/7$ درصد افزایش یافته اما در موقعیت‌های طولی $0/6$ و $0/8$ با کاهش این مقدار نسبت به طول‌های قبلی وجود دارد، به طوری که در $x = 0/6$ نسبت به $x = 0/4$ حدود

مکان هندسی سرعت طولی ماکزیمم متغیر است به طوری که برای موقعیت‌های طولی $0/2$ و $0/4$ به ترتیب در عمق $0/6$ و $0/625$ و برای طول‌های $0/6$ و $0/8$ در عمق $0/575$ و $0/5$ رخ می‌دهد. در شکل ۳-ب برای $t = 0/25$ با افزایش طول سرعت ماکزیمم طولی افزایش پیدا می‌کند. به طوری که در $x = 0/8$ نسبت به $x = 0/2$ حدود $156/5$ درصد افزایش پیدا کرده است. در شکل ۳-ج برای زمان $t = 0/5$ سرعت طولی ماکزیمم در $x = 0/8$ نسبت به $x = 0/2$ حدود $200/6$ درصد افزایش می‌یابد. مکان هندسی سرعت طولی ماکزیمم از عمق $0/75$ در $x = 0/2$ به عمق $0/7$ در $x = 0/8$ تغییر یافته است.



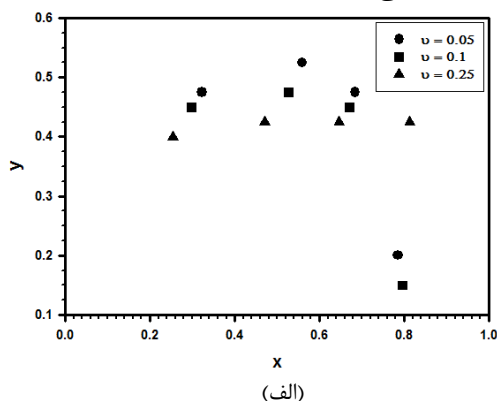
(الف)



(ب)

ماکزیم عمقی نسبت به $t=0/1$ حدود $894/8$ درصد کاهش یافته است. مکان هندسی سرعت عمقی ماکزیم در زمان $t=0/1$ ، لزجت $0/1$ و موقعیت طولی $0/4$ از عمق $0/475$ به عمق $0/625$ در زمان $t=0/5$ تغییر می یابد.

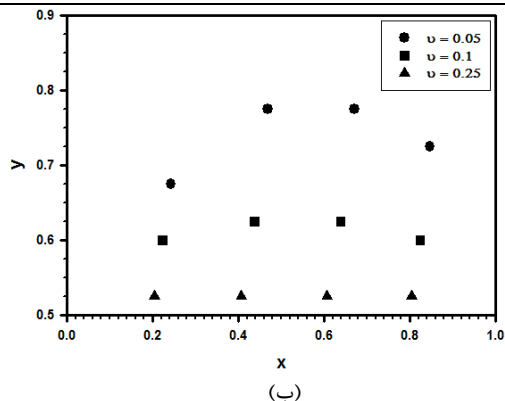
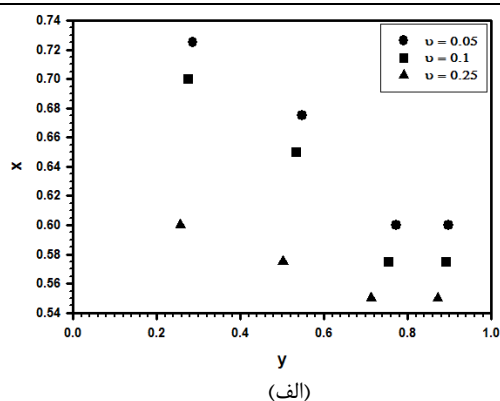
همانطور که در شکل ۵-الف که مقادیر و مکان هندسی سرعت ماکزیم طولی u را برای زمان $t=0/1$ و لزجت های متفاوت در جهت طولی نشان می دهد، مشاهده می شود برای لزجت معادل $0/05$ مقدار سرعت ماکزیم طولی در $y=0/6$ نسبت به $y=0/2$ حدود $100/7$ درصد افزایش یافته است، اما در عمق $y=0/8$ این مقدار نسبت به عمق های $0/4$ و $0/6$ کاهش و نسبت به عمق $0/2$ افزایش یافته به طوری که نسبت به $y=0/6$ حدود $76/6$ درصد کاهش و نسبت به $y=0/2$ حدود $13/7$ درصد افزایش یافته است. برای لزجت معادل $0/1$ مقدار سرعت ماکزیم طولی در $y=0/6$ نسبت به $y=0/2$ حدود $105/8$ درصد افزایش یافته است، اما در عمق $y=0/8$ این مقدار نسبت به عمق $y=0/6$ حدود 31 درصد کاهش می یابد. با افزایش لزجت از مقدار سرعت ماکزیم طولی در جهت طول کاسته می شود و در طول های کمتری رخ می دهد. به عنوان مثال در لزجت معادل $0/1$ و عمق $0/4$ مقدار سرعت طولی ماکزیم نسبت به لزجت معادل $0/05$ حدود $11/1$ درصد کاهش می یابد و در لزجت $0/25$ و عمق $0/4$ مقدار سرعت طولی ماکزیم نسبت به لزجت $0/1$ حدود $30/6$ درصد کاهش می یابد. مکان هندسی سرعت طولی ماکزیم در لزجت $0/05$ و عمق $0/2$ از طول $0/725$ به طول $0/6$ در لزجت معادل $0/25$ تغییر می یابد.



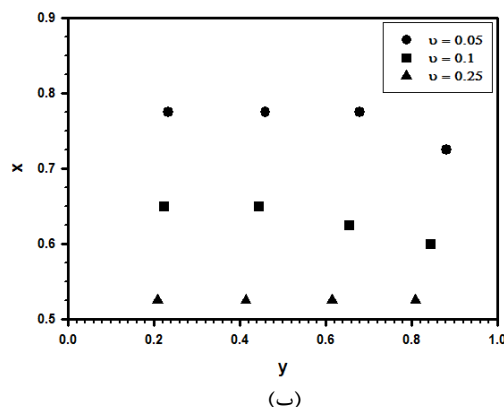
$87/7$ درصد کاهش مشاهده می شود. برای لزجت معادل $0/1$ مقدار سرعت ماکزیم عمقی در $x=0/4$ نسبت به $x=0/2$ حدود $29/4$ درصد افزایش یافته اما در موقعیت های طولی $0/6$ و $0/8$ با کاهش این مقدار نسبت به طول های قبلی روبرو هستیم به طوری که در $x=0/6$ نسبت به $x=0/4$ حدود $78/3$ درصد کاهش مشاهده می شود. با افزایش لزجت از مقدار سرعت عمقی کاسته می شود و در عمق های کمتری رخ می دهد. به عنوان مثال در لزجت معادل $0/1$ و موقعیت طولی $0/6$ مقدار سرعت عمقی ماکزیم نسبت به لزجت معادل $0/05$ حدود $18/9$ درصد کاهش می یابد و در لزجت $0/25$ و موقعیت طولی $0/6$ مقدار سرعت عمقی ماکزیم نسبت به لزجت $0/1$ حدود $52/9$ درصد کاهش می یابد. مکان هندسی سرعت عمقی ماکزیم در لزجت $0/05$ و موقعیت طولی $0/4$ از عمق $0/525$ به عمق $0/475$ در لزجت معادل $0/1$ تغییر می یابد.

شکل ۴-ب نشان دهنده ی مقادیر و مکان هندسی سرعت ماکزیم عمقی برای زمان $t=0/5$ و لزجت های متفاوت در جهت عمقی می باشد. برای لزجت معادل $0/05$ مقدار سرعت ماکزیم عمقی در $x=0/6$ نسبت به $x=0/2$ حدود $68/4$ درصد افزایش یافته اما در موقعیت های طولی $0/8$ با کاهش این مقدار نسبت به طول های قبلی مشاهده می شود به طوری که در $x=0/8$ نسبت به $x=0/4$ حدود $49/2$ درصد کاهش می یابد. برای لزجت معادل $0/1$ مقدار سرعت ماکزیم عمقی در $x=0/6$ نسبت به $x=0/2$ حدود $64/8$ درصد افزایش یافته اما در $x=0/8$ نسبت به $x=0/6$ حدود $59/2$ درصد کاهش می یابد. با افزایش لزجت از مقدار سرعت ماکزیم عمقی کاسته می شود و در عمق های کمتری رخ می دهد. به عنوان مثال در لزجت معادل $0/1$ و موقعیت طولی $0/8$ مقدار سرعت عمقی ماکزیم نسبت به لزجت معادل $0/05$ حدود $92/5$ درصد کاهش می یابد و در لزجت $0/25$ و موقعیت طولی $0/8$ مقدار سرعت عمقی ماکزیم نسبت به لزجت $0/1$ حدود $435/2$ درصد کاهش می یابد. مکان هندسی سرعت عمقی ماکزیم در لزجت $0/05$ و موقعیت طولی $0/4$ از عمق $0/775$ به عمق $0/625$ در لزجت معادل $0/1$ تغییر می یابد.

با مقایسه شکل ۴-الف و ۴-ب می توان دریافت که با افزایش زمان از مقدار سرعت ماکزیم عمقی کاسته می شود و در عمق های بیشتری رخ می دهد. به طوری که در لزجت معادل $0/25$ و $x=0/4$ و $t=0/5$ مقدار سرعت



شکل ۴- نمونه‌های از توزیع سرعت ماکزیمم عمقی v در جهت عمقی و برای زمان‌های الف) $t=0.1$ و ب) $t=0.5$.



شکل ۵- نمونه‌های از توزیع سرعت ماکزیمم طولی u در جهت طولی و برای زمان‌های الف) $t=0.1$ و ب) $t=0.5$.

شکل ۶ نشان‌دهنده‌ی توزیع سرعت عمقی v در جهت طولی برای اعماق مشخص و ضریب لزجت 0.25 می‌باشد. در شکل ۶-الف برای شرایط اولیه سرعت عمقی منفی (جریان رو به بالا) در جهت طولی مشاهده می‌شود که نشان‌دهنده‌ی معلق بودن ذرات در این شرایط می‌باشد. مشخص است که تا زمان معادل 0.5 سرعت عمقی منفی مشاهده نمی‌شود و این بدان معنی است که لزجت زیاد مانع معلق بودن ذرات خواهد بود. در شکل ۶-ب برای زمان $t=0.1$ سرعت عمقی ماکزیمم در $y=0.6$ نسبت به $y=0.2$ حدود $11/3$ درصد افزایش می‌یابد ولی در $y=0.8$ نسبت به $y=0.6$ حدود $30.4/6$ درصد کاهش می‌یابد. در این حالت مکان هندسی سرعت عمقی ماکزیمم برای همه عمق‌ها یکسان و برابر با طول 0.375 می‌باشد. در شکل ۶-ج برای زمان $t=0.25$ سرعت عمقی ماکزیمم در $y=0.4$ نسبت به $y=0.2$ حدود $14/6$ درصد افزایش می‌یابد، اما در $y=0.6$ و $y=0.8$ نسبت به $y=0.4$ به ترتیب حدود $2/2$ و $74/7$ درصد کاهش می‌یابد. در این حالت مکان هندسی سرعت عمقی ماکزیمم در تمام عمق‌ها یکسان و برابر با طول 0.45 می‌باشد. در شکل ۶-د برای زمان $t=0.5$ سرعت عمقی ماکزیمم در $y=0.6$ نسبت به $y=0.2$ حدود $71/2$ درصد

با توجه به شکل ۵-ب که مقادیر و مکان هندسی سرعت ماکزیمم طولی را برای زمان $t=0.5$ و لزجت‌های متفاوت در جهت طولی نشان می‌دهد، برای لزجت معادل 0.05 مقدار سرعت ماکزیمم طولی در جهت طول افزایش می‌یابد به طوری که در $y=0.8$ نسبت به $y=0.2$ حدود $148/9$ درصد افزایش یافته است. برای لزجت معادل 0.1 مقدار سرعت ماکزیمم طولی در $y=0.6$ نسبت به $y=0.2$ حدود $152/8$ درصد افزایش می‌یابد اما در $y=0.8$ نسبت به $y=0.6$ حدود $273/5$ درصد کاهش می‌یابد... با افزایش لزجت از مقدار سرعت ماکزیمم طولی در جهت طول کاسته می‌شود و در طول‌های کمتری رخ می‌دهد. به عنوان مثال در لزجت معادل 0.1 و عمق 0.6 مقدار سرعت طولی ماکزیمم نسبت به لزجت معادل 0.05 حدود $47/3$ درصد کاهش می‌یابد و در لزجت 0.25 و عمق 0.6 مقدار سرعت طولی ماکزیمم نسبت به لزجت 0.1 حدود $273/5$ درصد کاهش می‌یابد. مکان هندسی سرعت طولی ماکزیمم در لزجت 0.05 و عمق 0.2 از طول 0.775 به طول 0.525 در لزجت معادل 0.25 تغییر می‌یابد.

با توجه به شکل‌های ۵-الف و ۵-ب می‌توان نتیجه گرفت که با افزایش زمان از مقدار سرعت ماکزیمم طولی کاسته می‌شود و در طول‌های بیشتری پدید می‌آید. به عنوان مثال در لزجت معادل 0.25 و $y=0.4$ و $t=0.5$ مقدار سرعت ماکزیمم عمقی نسبت به $t=0.1$ حدود $21/3$ درصد کاهش یافته است. مکان هندسی سرعت طولی ماکزیمم در زمان $t=0.1$ ، لزجت 0.05 و عمق 0.2 از طول 0.725 به طول 0.775 در زمان $t=0.5$ تغییر می‌یابد.

شکل ۶- نمونه‌ای از توزیع سرعت عمقی ۷ در جهت

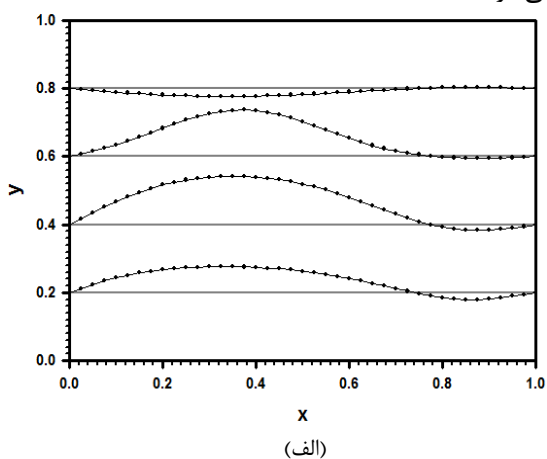
طولی (۰/۲۵ = v) و زمان‌های متفاوت: الف) $t=0$ ، ب)

← ۱۵ → | $t=0/5$ ، ج) $t=0/25$ و د) $t=0/5$

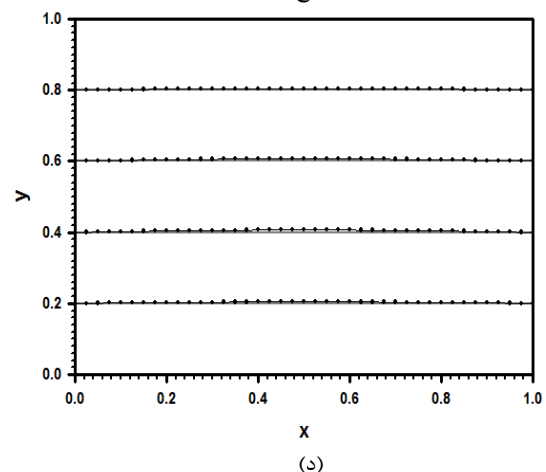
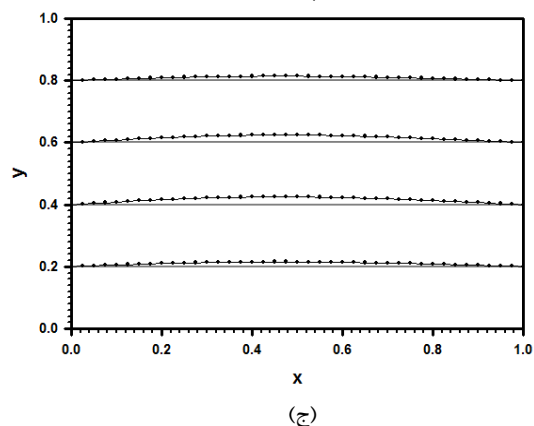
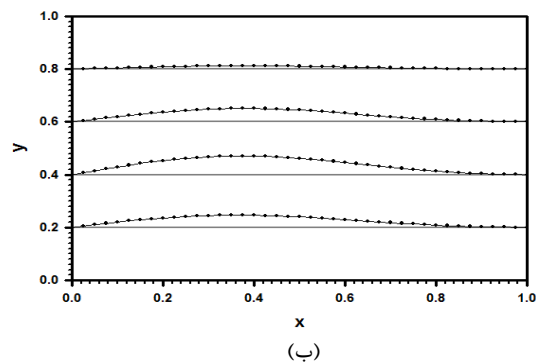
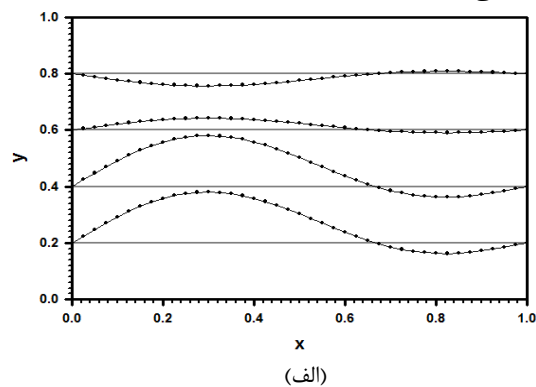
شکل ۷ نشان‌دهنده‌ی توزیع سرعت عمقی ۷ در جهت طولی برای اعماق مشخص و ضریب لزجت ۰/۰۵ می‌باشند. در شکل ۷-الف برای زمان $t=0/1$ سرعت عمقی ماکزیمم در $y=0/4$ نسبت به $y=0/2$ حدود ۸۶/۲ درصد افزایش می‌یابد، اما در $y=0/6$ و $y=0/8$ نسبت به $y=0/4$ به ترتیب حدود ۳/۳ و ۵۱۷/۶۲ درصد کاهش می‌یابد. لازم به ذکر است در عمق $y=0/8$ سرعت ماکزیمم عمقی منفی می‌باشد. در شکل ۷-ب برای زمان $t=0/25$ سرعت عمقی ماکزیمم در $y=0/6$ نسبت به $y=0/2$ حدود ۱۸۲/۸ درصد افزایش می‌یابد ولی در $y=0/8$ نسبت به $y=0/6$ حدود ۱۱۱/۵ درصد کاهش می‌یابد. در شکل ۷-ج برای زمان $t=0/5$ با افزایش عمق سرعت ماکزیمم عمقی افزایش می‌یابد به طوری که در $y=0/8$ نسبت به $y=0/6$ حدود ۲۵۶/۲ افزایش مشاهده می‌شود.

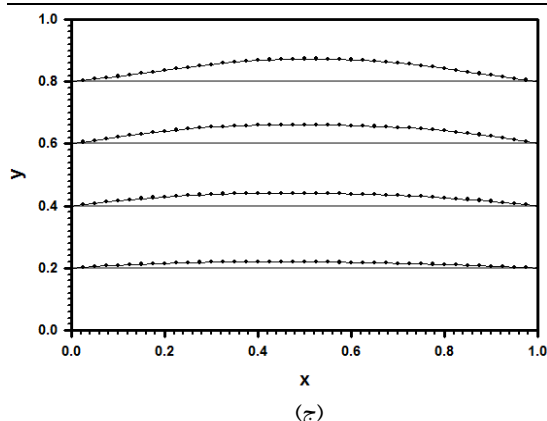
با افزایش زمان از مقدار سرعت ماکزیمم عمقی کاسته می‌شود و در طول‌های بیشتری رخ می‌دهد. به طوری که در $y=0/4$ و $t=0/5$ مقدار سرعت ماکزیمم عمقی نسبت به $t=0/1$ حدود ۲۴۲/۵ درصد کاهش یافته است. مکان هندسی سرعت عمقی ماکزیمم در زمان $t=0/1$ و موقعیت طولی $0/2$ از عمق $0/325$ به عمق $0/425$ در زمان $t=0/1$ تغییر می‌یابد.

با توجه به شکل‌های ۶ و ۷ می‌توان دریافت که با کاهش لزجت مکان هندسی سرعت عمقی ماکزیمم در جهت طولی به ابتدای مقطع متمایل می‌شود. به عنوان مثال در زمان $t=0/5$ ، عمق $0/2$ و لزجت معادل $0/05$ مکان هندسی سرعت عمقی ماکزیمم ۱۷/۶ درصد نسبت به لزجت معادل $0/25$ به ابتدای مقطع طولی نزدیک‌تر می‌شود.

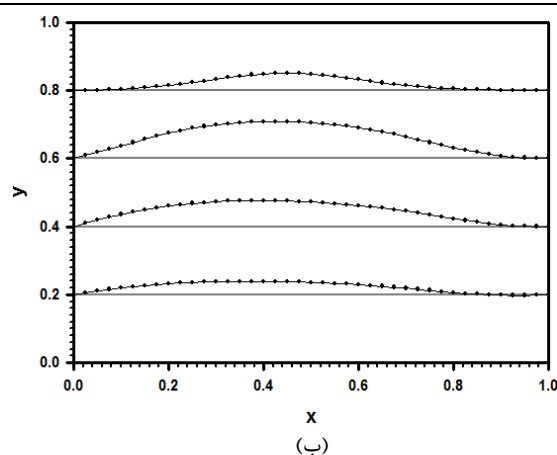


افزایش می‌یابد ولی در $y=0/8$ نسبت به $y=0/6$ حدود ۵۷/۶ درصد کاهش می‌یابد. در این حالت مکان هندسی سرعت عمقی ماکزیمم برای همه عمق‌ها یکسان و برابر با طول $0/5$ می‌باشد.





(ج)



(ب)

شکل ۷- نمونه‌ای از توزیع سرعت عمقی v در جهت

طولی ($v = +0.5$) و زمان‌های متفاوت: الف) $t = 0.1$ ، ب)

ج) $t = 0.5$ و $t = 1.5$

سرعت عمقی منفی (جریان رو به بالا) مشاهده شد که نشان‌دهنده‌ی معلق بودن ذرات می‌باشد.

منابع

- 1) Abdou M.A. and Soliman A.A. (2005) Variational iteration method for solving Burger's and coupled Burger's equations. J. comp. Appl. Math. 181, 245-251.
- 2) Albeverio, S. Korshunova A. and Rozanova O. (1979) A probabilistic model associated with the pressureless gas dynamics. Bull. Sci. math. 137 351-365.
- 3) Arora G. and Singh B.K. (2013) Numerical solution of Burgers' equation with modified cubic B-spline differential quadrature method. Applied Mathematics and Computation 224, 166-177.
- 4) Arminjon P. and Beauchamp, C. (1979) Numerical Solution of Burgers' equations in two space dimensions. Computer Methods in Applied Mechanics and Engineering 19, 351-365.
- 5) Bateman, H. (1915) Some recent researches on the motion of fluids. Monthly Weather Rev. 43, 163-170.
- 6) Burger, J.M. (1948) A Mathematical Model Illustrating the Theory of Turbulence. Adv. in Appl. Mech. I, Academic Press, 171-199.
- 7) Burgers, J.M. (1939) Mathematical examples illustrating relations occurring in the theory of turbulent fluid motion. Trans. R. Neth. Acad. Sci. 17, 1-53.
- 8) Diaz J.E., Ramirez J. and Villa J. (2011) The numerical solution of a generalized Burgers-Huxley equation through a conditionally bounded and symmetry-preserving method. Computers & Mathematics with Applications 61, 3330-3342.
- 9) Haq, S. Islam S. and Uddin M. (2009) A mesh-free method for the numerical solution of the KdV-Burgers equation. Applied Mathematical Modelling 33, 3442-3449.

نتیجه‌گیری

روش تفاضل محدود کاملاً ضمنی برای حل معادله برگرد دو بعدی به کار گرفته شد که توانست خطوط جریان، توزیع سرعت‌های طولی و عمقی و مکان هندسی سرعت‌های ماکزیمم را در جهات طولی و عمقی تعیین کند. با مقایسه این روش با روش پیچیده المان محدود، نتایج با خطای نسبتاً کم مشابهت دارد. به‌طور کلی می‌توان دریافت که با افزایش لزجت و زمان سرعت‌های سقوط در دو جهت طولی و عمقی کاهش پیدا می‌کنند. به‌عنوان مثال با ۵ برابر شدن لزجت (از لزجت معادل ۰/۰۵ به ۰/۲۵) برای زمان معادل ۰/۲۵ و وسط طول و عمق ($x=y=0.5$) سرعت‌های طولی و عمقی به ترتیب حدود ۵۶/۲ و ۹۶/۵ درصد کاهش می‌یابند. با ۵ برابر شدن زمان (از زمان معادل ۰/۱ به ۰/۵) برای لزجت ۰/۱ و وسط طول و عمق سرعت‌های طولی و عمقی به ترتیب حدود ۲۱۵/۱ و ۱۸۷/۳ درصد کاهش می‌یابند. با کاهش لزجت، مکان هندسی سرعت‌های ماکزیمم طولی و عمقی در جهت عمقی به کف بستر نزدیک می‌شود و در جهت طولی مکان هندسی سرعت ماکزیمم طولی به سمت انتهای مقطع و برای سرعت ماکزیمم عمقی به سمت ابتدای مقطع متمایل می‌شود. با افزایش زمان، مکان هندسی سرعت‌های ماکزیمم طولی و عمقی در جهت عمقی به کف بستر نزدیک می‌شود و در جهت طولی مکان هندسی سرعت ماکزیمم طولی و عمقی به سمت انتهای مقطع متمایل می‌شود. در بعضی مکان‌ها خصوصاً لایه‌های نزدیک بستر،

- 19) Wazwaz A.M. (2014) A study on a (2+ 1)-dimensional and a (3+ 1)-dimensional generalized Burgers equation. *Applied Mathematics Letters* 31, 41-45.
- 20) Wei G.W., Zhang D.S., Kouri D.J. and Hoffman D.K. (1998) Distributed approximating Functional approach to Burgers' equation in one and two space dimensions. *Computer Physics Communications* 111, 93 - 109.
- 21) Zaki, S.I. (2000) A quintic B-spline finite elements scheme for the KdVB equation. *Comput. Methods Appl. Mech. Engrg.* 188, 121-134.
- 22) Zhanlav, T. Chuluunbaatar O. and Ulziibayar V. (2015) Higher-order accurate numerical solution of unsteady Burgers' equation. *Applied Mathematics and Computation* 250, 701-707.
- 23) Zheng, Q. Zhao X. and Liu Y. (2017) A novel finite difference scheme for Burgers' equation on unbounded domains. *Applied Numerical Mathematics* 111, 1-16.
- 10) Khater, A.H. Temsah R.S. and Hassan M.M. (2008) A Chebyshev spectral collocation method for solving Burgers'-type equations. *Journal of Computational and Applied Mathematics* 222, 333-350.
- 11) Kofman L. and Rage A.C. (1992) Modeling structures of knots in jet flows with the Burgers equation. *Astrophys. J.* 390, 359-364.
- 12) Rady A.S., Osman E.S. and Khalfallah M. (2010) Multi-soliton solution, rational solution of the Boussinesq-Burgers equations. *commun. nonlinear sci. numer. simulat.* 15, 1172-1176.
- 13) Rizun, V.I. and Engel'Brekht, Iu. K. (1975) Application of the Burgers' equation with a variable coefficient to the study of nonplanar wave transients. *PMM Vol39, Ng3*, 551-554.
- 14) Shu C. and Richards B.E. (1992) Application of generalized differential quadrature to solve two-dimensional incompressible Navier-Stokes equation. *Numerical Methods in Fluids* 15, 791 -798.
- 15) Shukla H.S., Tamsir M., Srivastava K. and Kumar J. (2016) Numerical solution of two dimensional coupled viscous Burger equation using modified cubic B-spline differential quadrature method. *AIP Advances* 4, 117-134.
- 16) Tasmir M. and Sirvastava V.K. (2011) A semi-implicit finite-difference approach for two-dimensional coupled Burgers' equations. *In. J. Sci. & Eng. Res.* 2, 46-49.
- 17) Vaghefi M., rahideh H., M.R. Golbahar Haghighi and A.K. khaksar (2012) Distributed Approximating Functional Approach to Burgers' Equation using Element Differential Quadrature Method. *J.Appl. Sci. Environ. Manage.* 16, 143-149.
- 18) Watanabe, S. Ishiwata, S. Kawamura K. and Oh H.G. (1997) Higher order solution of nonlinear waves. II. Shock wave described by Burgers equation. *J. Phys. Soc. Jpn.* 66 984-987.

